

جغرافیا و توسعه شماره ۵۰ بهار ۱۳۹۷

وصول مقاله: ۱۳۹۵/۰۷/۲۷

تأیید نهایی: ۱۳۹۶/۰۳/۱۰

صفحات: ۴۱-۵۴

ارزیابی خطر زمین لرزه به روش منطق فازی در منطقه دهک (خراسان جنوبی)

محترم قهرمانی^{۱*}، دکتر سیدمرتضی موسوی^۲، دکتر محمدمهدی خطیب^۳، هاشم منصوری^۴

چکیده

در استان خراسان جنوبی (شرق ایران) به دلیل عملکرد گسل‌های فعال (گسل‌های شمالی-جنوبی، شرقی-غربی و شمال غرب-جنوب شرق)، شاهد بروز زمین‌لرزه‌هایی با بزرگ‌گای مختلف هستیم. برای کاهش خسارات، تعیین مناطق دارای پتانسیل بالای لرزه‌ای از اهمیت ویژه‌ای برخوردار است. در این پژوهش، از شش عامل مؤثر در زمین‌لرزه (گشتاور لرزه‌ای، هم‌شتاب لرزه‌ای، هم‌شدت شکستگی، فاصله از شکستگی، مقاومت واحدها و عمق آبرفت)، استفاده شد. در این زمینه پارامترهای مؤثر اولویت‌بندی شد. در مرحله بعدی با استفاده از منطق فازی، وزن پارامترها مشخص شد و در پایان با استفاده از ARC GIS با هم تلفیق شدند. مطالعات پهنه‌بندی حاکی از آن است که فاکتورهای گشتاور لرزه‌ای و هم‌شتاب مهم‌ترین نقش را در وقوع زمین‌لرزه‌ها در منطقه ایفا می‌کنند. در نقشه پهنه‌بندی به روش فازی، حریم گسل‌های نه‌بندان، سهل آباد، دهک، چهارفرسخ، اردکول و مازان در محدوده خطر خیلی‌زیاد قرار دارند. براساس پارامتر شتاب لرزه‌ای، شتابی که گسل دهک به روستاهای آن منطقه وارد می‌کند، معادل ۰/۵۸ شتاب ثقلی زمین است. نقشه‌های خروجی به‌دست‌آمده براساس اپراتورهای فازی نشان می‌دهد که نقشه حاصل از جمع جبری فازی (sum)، بیشترین انطباق را با واقعیت دارد که به ترتیب ۲۰، ۲۸، ۲۶، ۱۶ و ۱۰ درصد از منطقه در کلاس‌های خطر خیلی کم، کم، متوسط، زیاد و خیلی‌زیاد قرار دارد. در این نقشه قسمت اعظم منطقه دهک (۷۰ درصد) در کلاس خطر زیاد و خیلی‌بالا قرار دارد.

واژه‌های کلیدی: گشتاور لرزه‌ای، منطق فازی، اپراتورهای فازی، گسل دهک، خراسان جنوبی.

ghahramani@birjand.ac.ir

mmoussavi@birjand.ac.ir

mkhatib@birjand.ac.ir

hashemmansouril@birjand.ac.ir

۱- کارشناس ارشد تکنونیک، دانشگاه بیرجند، بیرجند، ایران*

۲- استادیار تکنونیک، دانشگاه بیرجند، بیرجند، ایران

۳- استاد تکنونیک، دانشگاه بیرجند، بیرجند، ایران

۴- دانشجوی دکتری تکنونیک، دانشگاه بیرجند، بیرجند، ایران

مقدمه

بیان مسئله

زمین‌لرزه‌ها همواره جزء مهمترین مخاطرات طبیعی هستند که هر ساله تعداد بسیاری از مردم جهان، گرفتار آثار نامطلوب آن می‌شوند. برای کاهش تلفات جانی و اقتصادی و تبعات اجتماعی آن ضروری است که براساس دانش کنونی و آخرین فناوری‌های قابل‌اعتماد از خطر وقوع زمین‌لرزه در نقاط مختلف، شناختی دقیق به‌دست آوریم. قدم اول و مهم در تجزیه و تحلیل خطر لرزه‌ای، راهبرد کاهش استقرار جمعیت در مناطق پرخطر است. هرچند پیش‌بینی دقیق این مخاطره بزرگ طبیعی به‌صورت قطعی ممکن نیست، ولی تعیین احتمالی مکان رخداد یک زلزله امکان‌پذیر است؛ بنابراین ضرورت پهنه‌بندی آشکار می‌شود. قابلیت اعتماد این نقشه تا حد زیادی به کیفیت داده‌های در دسترس، مقیاس مطالعه، انتخاب یک روش و مدل‌سازی مناسب بستگی دارد. این نقشه ممکن است به روش‌های کمی یا کیفی تهیه شود. روش‌های کیفی عموماً مبتنی بر عقیده کارشناسی هستند؛ اما در برخی از روش‌های کیفی از اصول رتبه‌دهی و وزن‌دهی به پارامترها بهره گرفته شده است. این روش‌ها طبیعتی شبه‌کمی دارند. نمونه‌هایی از این روش‌ها استفاده از روش AHP و یا منطق فازی است. عمده دگرشکلی در شرق ایران در نتیجه گسل‌های راستگرد شمالی- جنوبی است (Walker & Jackson, 2004:2) از این رو ارتباط گسل‌های مذکور می‌تواند سبب دگرشکلی‌های متفاوت در زیر پهنه سیستان شود. عملکرد گسل‌های کواترنری سبب بروز زمین‌لرزه‌هایی با بزرگای کم تا زیاد در منطقه می‌شود. سیمای گسل‌ها، با میزان لرزه‌خیزی بودن این گسل‌ها در ارتباط است. گسل‌های شرق ایران دارای سیمای مستقیم و توان لرزه‌خیزی و

فعالیت بالایی هستند. در این تحقیق، سؤالات زیر دنبال می‌شود: «چند درصد از منطقه در محدوده خطر زیاد قرار دارد؟»، «گسل دهک در کدام محدوده از کلاس خطر وجود دارد؟»، «کدام یک از خروجی‌های منطق فازی، بیشترین تطابق را با لرزه‌خیزی منطقه دارند؟».

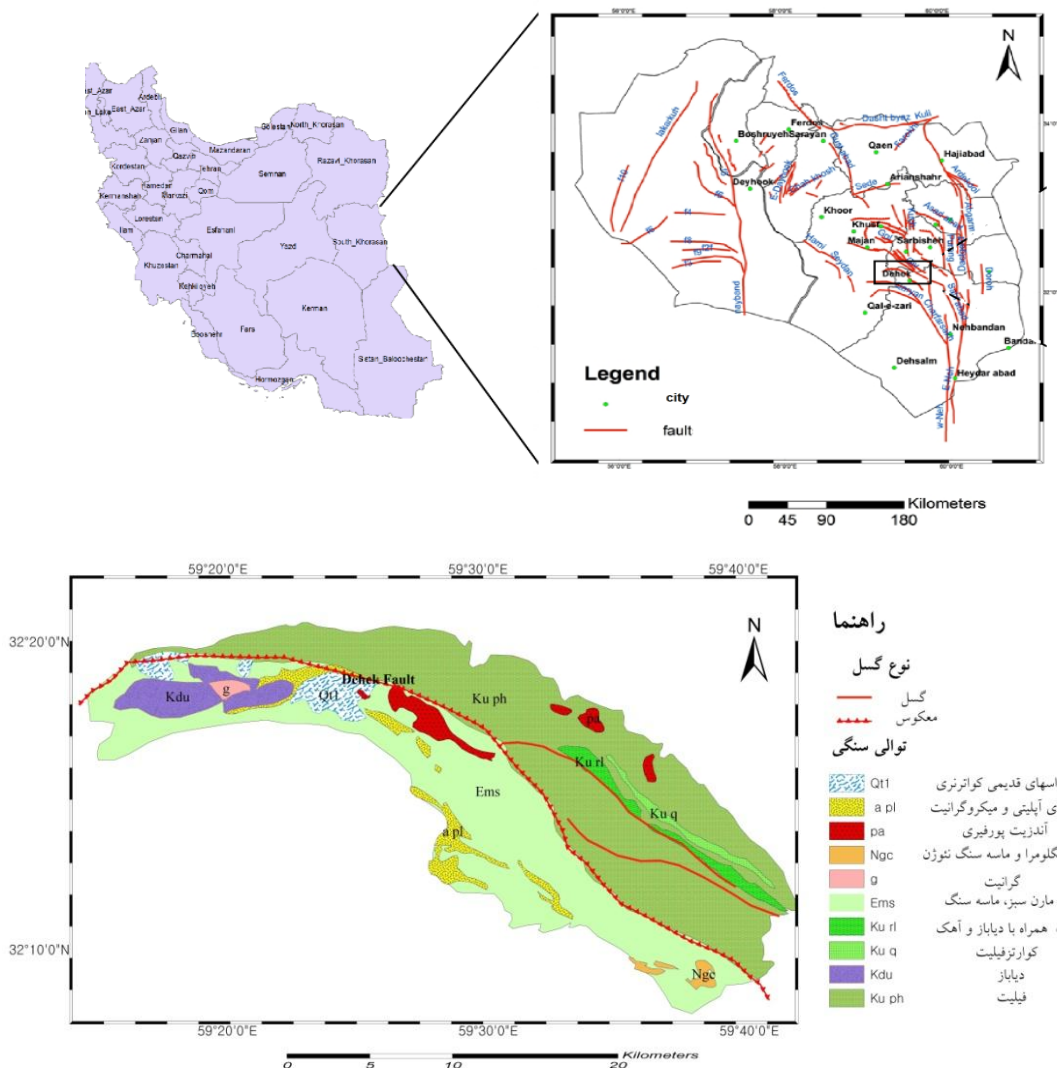
پیشینه تحقیق

- مهاجر و پیرز (۱۹۶۳)، با استفاده از زمین‌لرزه‌های بزرگ ایران، نقشه‌های هم‌لرزه را برای مناطق مختلف تهیه کردند (Mohajer & Pierce, 1963).
- محمودزاده (۱۳۶۸) با استفاده از لایه‌های اطلاعاتی (گسل، شیب، زمین‌شناسی و کاربری اراضی) شهر تبریز و همپوشانی این لایه‌ها در GIS، نقشه پهنه‌بندی خطر زمین‌لرزه را برای تبریز تهیه کرد.
- وکیلی اوندیری (۱۳۹۳) با استفاده از تحلیل سلسله‌مراتبی و منطق فازی به پهنه‌بندی خطر زمین‌لغزش در منطقه باقران (جنوب بیرجند) پرداخت که در آن عوامل فرسایش، فاصله از گسل و شتاب مهمترین عوامل بروز زمین‌لغزش معرفی شدند. همچنین بیش از ۸۵ درصد زمین‌لغزش‌ها در فاصله بین صفر تا ۷۰۰ متری از گسل‌ها قرار دارند که دال بر ارتباط مستقیم با زمین‌ساخت منطقه است.
- حیدری آفاگل (۱۳۹۴) نیز با استفاده از پنج فاکتور گشتاور لرزه‌ای، هم‌شتاب، هم‌شدت شکستگی، فاصله از شکستگی و عمق آبرفت به تحلیل لرزه‌خیزی منطقه اردکول قائن پرداخت که نشان داد نرخ فعالیت گسل اردکول از شمال به جنوب منطقه افزایش می‌یابد و قسمت جنوب منطقه را به‌عنوان منطقه با خطر زیاد و خیلی زیاد از نظر لرزه‌خیزی معرفی کرد.

جایگاه زمین‌شناسی و لرزه زمین‌ساختی

منطقه مورد مطالعه در ایالت ساختاری سیستان واقع شده است که مطالعه گسل‌های فعال در این منطقه به همراه زمین‌لرزه‌های رخ داده نشان‌دهنده فعال بودن منطقه از نظر تکتونیکی است. ایالت ساختاری سیستان در شرق ایران با روند کلی شمالی جنوبی نشان‌دهنده زمین‌درز برخوردی قطعه لوت و افغان است (Tirrulle, R., Bell, L.R., Griffins, R.J., and Camp, V.E, 1983: 142).

گسل تراستی دهک با راستای شمال‌غربی- جنوب‌شرقی که یکی از سرشاخه‌های گسل نه غربی است و با تداوم به سمت جنوب شرقی به گسل راستگرد اسماعیل‌آباد می‌رسد. این گسل تراستی باعث رانده شدن واحدهای فیلیتی به سن کرتاسه فوقانی بر روی واحدهای آهکی، ماسه‌سنگی و مارنی به سن کرتاسه شده است (شکل ۱).



شکل ۱: نقشه زمین‌شناسی منطقه مورد مطالعه

(ترسیم مجدد نقشه ۱:۱۰۰۰۰۰ مختاران و سهل‌آباد)

موحد اول، محسن؛ کاظم امامی؛ جمشید افتخارنژاد؛ یوان اشتوکلین (۱۹۷۸)

منطقه مورد مطالعه از نظر جایگاه لرزه‌زمین‌ساختی در بخش بالایی سیستان قرار دارد. بررسی نقشه‌های لرزه‌زمین‌ساختی‌حاکمی از آن است که این منطقه از پتانسیل لرزه‌خیزی بالایی برخوردار است و زمین‌لرزه‌های زیادی در این منطقه روی داده است. براساس مطالعاتی که بر روی تراکم زمین‌لرزه‌ها، طول گسل‌های منطقه، بزرگی زمین‌لرزه‌ها و شتاب زمین‌لرزه‌ها صورت گرفته است، شرق ایران دارای پتانسیل لرزه‌ای بالایی است.

در این مطالعه برای بررسی خطر زمین‌لرزه از شش پارامتر نقشه گشتاور لرزه‌ای، هم‌شتاب لرزه‌ای، هم‌شدت شکستگی، فاصله از گسل، مقاومت واحدها و عمق آبرفت استفاده شد. سپس رسترهای موردنظر از روش منطق فازی مورد تحلیل قرار گرفت. درنهایت نتایج بررسی در غالب نقشه‌های خطر لرزه‌ای مورد تحلیل قرار گرفت.

معرفی پارامترها

گشتاور لرزه‌ای

یکی از روش‌های برآورد نرخ گشتاور، برآورد نرخ گشتاور لرزه‌ای، استفاده از داده‌های لرزه‌نگاری زمین‌لرزه‌ها و کاتالوگ زمین‌لرزه‌های تاریخی است. با استفاده از روابط تجربی می‌توان نرخ گشتاور لرزه‌ای را در منطقه تعیین کرد. در این روش با توجه به روابط تجربی موجود بین بزرگای مختلف و گشتاور لرزه‌ای اسکالر، می‌توان گشتاور لرزه‌ای را برای هر زمین‌لرزه محاسبه و سپس نرخ گشتاور لرزه‌ای را تعیین کرد. در اینجا با استفاده از فرمول‌های تجربی مربوط به داده‌های لرزه‌ای میزان گشتاور لرزه‌ای منطقه مورد نظر تعیین شد:

$$\log M_0 = cM + d \quad \text{رابطه ۱:}$$

$$\log(M_0/Nm) = 9.05 + 1.5M_s \quad \text{رابطه ۲:}$$

رابطه دیگری به وسیله *Dziewonski & Eksrtom*, (1987: 11) ارائه شد:

$$\log(M_0/Nm) = M_s + 12.243 \quad M_s < 7.16$$

$$\log(M_0/Nm) = 1.5(M_s + 5.776) \quad M_s > 7.16$$

رابطه زیر را بین بزرگای موج پیکری m_b و گشتاور لرزه‌ای اسکالر پیشنهاد کرد:

$$\log(M_0/Nm) = 11.28 + 0.679m_b + 0.077m_b^2 \quad \text{رابطه ۴:}$$

برای رابطه بین بزرگای گشتاوری و گشتاور لرزه‌ای نیز چند رابطه وجود دارد که ارائه شده است:

رابطه ۵:

$$M_w = \left(\frac{\log(M_0/\text{dynCm})}{1.5} \right) - 10.73$$

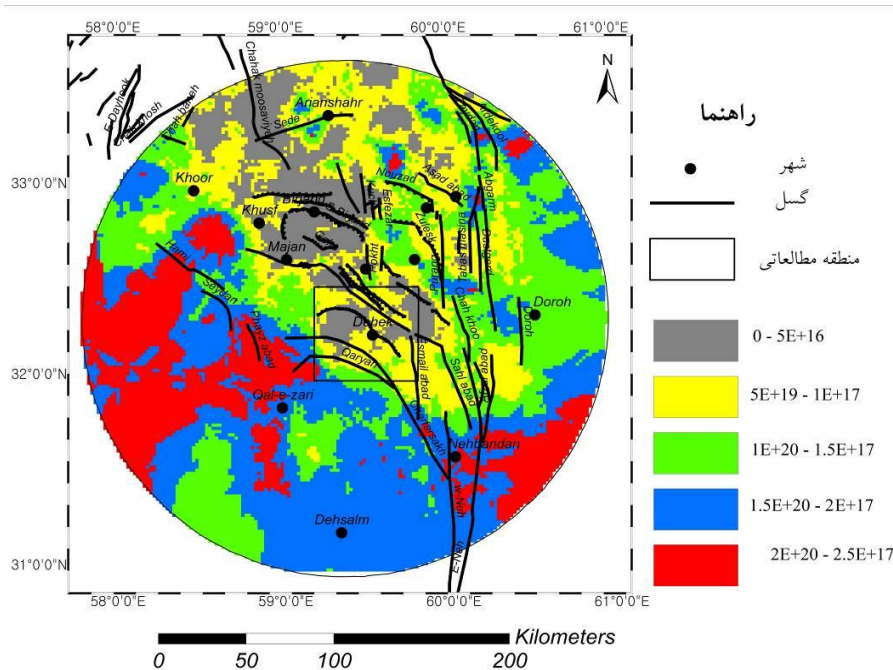
$$M_w = \frac{2}{3} \log(M_0/Nm) - 6.0$$

$$M_w = \frac{\log(M_0/NM) - 16.1}{1.5}$$

بزرگای (M_w) برای مقادیر تا حدود $M_w = 6.0$ اغلب با (m_b) و (M_L) برابر است بنابراین می‌توان بزرگای محلی و بزرگای گشتاوری را معادل یکدیگر گرفته و از روابطی که برای بزرگای گشتاوری وجود دارد، برای بزرگای محلی نیز استفاده کرد.

زمین‌لرزه‌های تاریخی با توجه به (Ambraseys & Melville, 1982) و بربریان (۱۳۷۴) به‌دست آمده است. بعد از تهیه نقشه گشتاور لرزه‌ای مشخص شد که منطقه اردکول، دهک، گیو و سهل‌آباد دارای بیشترین نرخ گشتاور لرزه‌ای در محدوده مورد مطالعه هستند (شکل ۲).

در برآورد نرخ گشتاور لرزه‌ای از کاتالوگ زمین‌لرزه‌های تاریخی و دستگاهی منطقه موردنظر استفاده می‌شود. کاتالوگ‌های زمین‌لرزه‌ای مورد استفاده در این پژوهش مربوط به پژوهشگاه بین‌المللی زلزله‌شناسی و مهندسی زلزله، کاتالوگ مربوط به زمین‌لرزه‌های USGS است و برای برخی از زمین‌لرزه‌ها از داده‌های سایت CMT (Centroid Moment-Tensor) (International Seismological Centre) استفاده شده است.



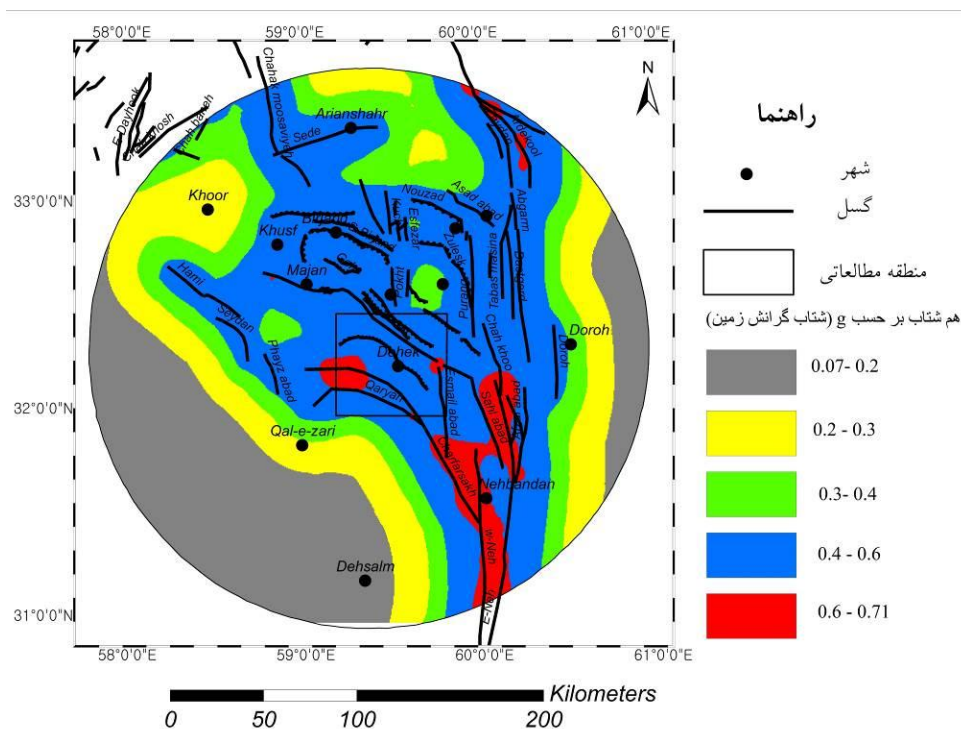
شکل ۲: نقشه گشتاور لرزه‌ای منطقه مورد مطالعه

تهیه و ترسیم: محترم قهرمانی، ۱۳۹۵

و تصاویر ماهواره‌ای لندست ۷ با قدرت تفکیک مکانی ۳۰ متری مشخص شد. سپس مقادیر بیشینه شتاب ثقل افقی وارده از طرف گسل‌های فعال نسبت به یک نقطه خاص اندازه‌گیری شد. در این روش محدوده گسل‌هایی که بیشترین خطر زمین‌لرزه‌ای را برای مرکز موردنظر دارند، مشخص می‌شود که در این میان گسل نهبندان، دهک و گیو بیشترین خطر را برای منطقه دارند (شکل ۳).

هم‌شتاب لرزه‌ای

به‌منظور تهیه نقشه هم‌شتاب لرزه‌ای، ابتدا گسل‌های اصلی کواترنری منطقه از طریق نقشه‌های زمین‌شناسی ۱:۲۵۰۰۰۰ (بیرجند، گزیک، نایب‌اندان، قاین، شاه‌رخت، گزیک، چاه‌وک و زابل) (علوی‌نایینی، مهدی؛ عباس بهروزی (۱۹۸۲) و (علوی‌نایینی، مهدی، عباس بهروزی، ۱۹۸۳) و (افتخارنژاد، جمشید، مهدی، علوی‌نایینی، عباس بهروزی، ۱۹۹۱) و (افتخارنژاد، جمشید، یووان اشتوکلین، ۱۳۶۹) و (m, Sahandi, 1992)

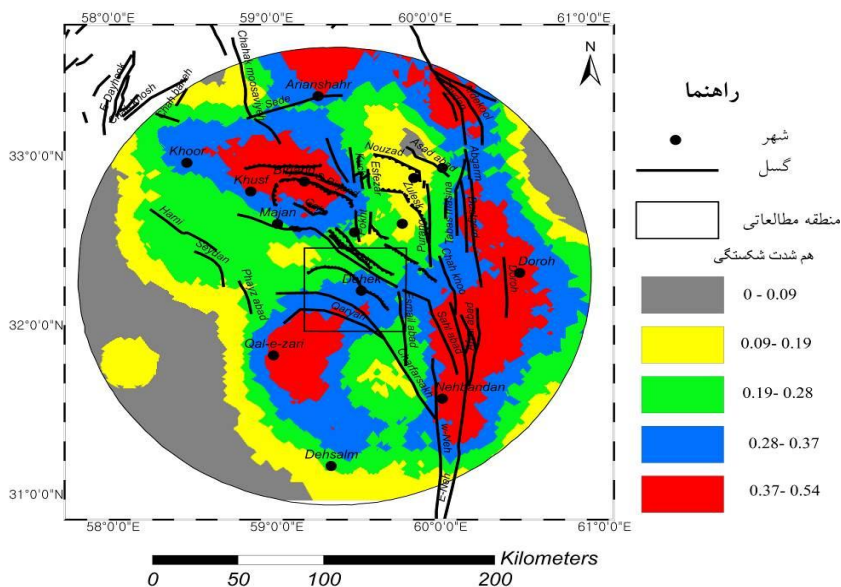


شکل ۳: نقشه هم‌شدت لزه‌ای منطقه مورد مطالعه تهیه و ترسیم: محترم قهرمانی، ۱۳۹۵

هم‌شدت شکستگی

برای تهیه نقشه هم‌شدت شکستگی ابتدا نقشه شکستگی‌های کواترنری و غیرکواترنری منطقه از طریق نقشه‌های زمین‌شناسی ۱:۲۵۰۰۰۰ (افتخارنژاد، جمشید، یووان اشتوکلین، ۱۳۶۹) و تصاویر ماهواره‌ای تهیه شد؛ سپس شبکه‌ای به ضلع ۵ کیلومتری بر روی این شکستگی‌ها طراحی شد و در هر واحد شدت شکستگی در نرم‌افزار GIS و با

استفاده از ابزار XTools محاسبه شد. سپس با استفاده از ابزار Geostatistical Analyst در برنامه Arc Map و از روش کریجینگ ساده با مدل برازش گوسی، نقشه شدت شکستگی برای کواترنری و غیرکواترنری تهیه شد. بیشترین شدت شکستگی در منطقه مورد مطالعه در بخش نهبندان، شوسف، منطقه دهک و گسل جنوب بیرجند قرار دارد (شکل ۴).



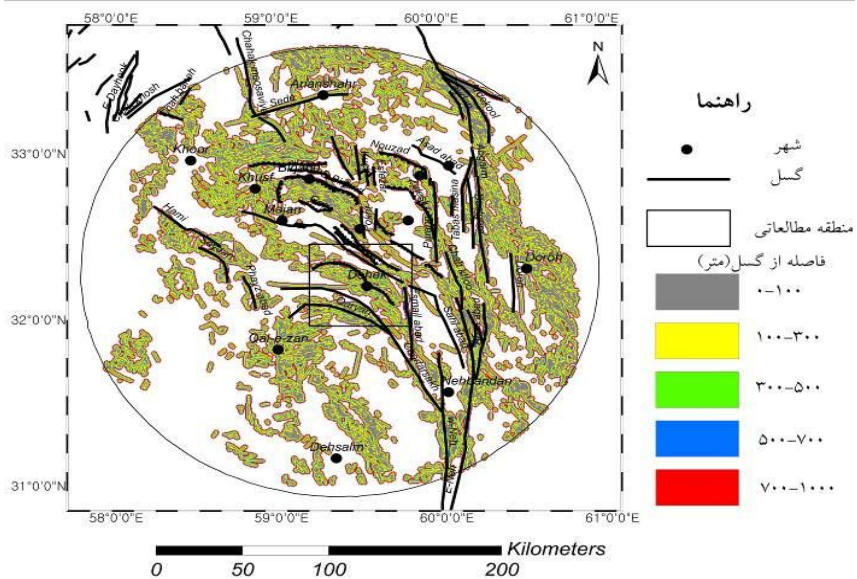
شکل ۴: نقشه هم‌شدت شکستگی منطقه مورد مطالعه

تهیه و ترسیم: محترم قهرمانی، ۱۳۹۵

تعیین حریم گسل و شکستگی‌های کواترنری حاصل از آن از اهمیت ویژه‌ای برخوردار است؛ به همین دلیل با توجه به نظر کارشناس محدوده حریم برای گسل‌های منطقه، ۱ کیلومتر در نظر گرفته شد (شکل ۵)

فاصله از گسل

در اثر عملکرد یک گسل علاوه بر محدوده خود گسل، محدوده خارج از خود گسل را که به نام «حریم گسل» شناخته می‌شود. تحت تأثیر قرار می‌دهد. در هنگام بروز زمین‌لرزه، بیشترین خسارات وارد به منطقه در بخش حریم گسل قرار دارد؛ بنابراین



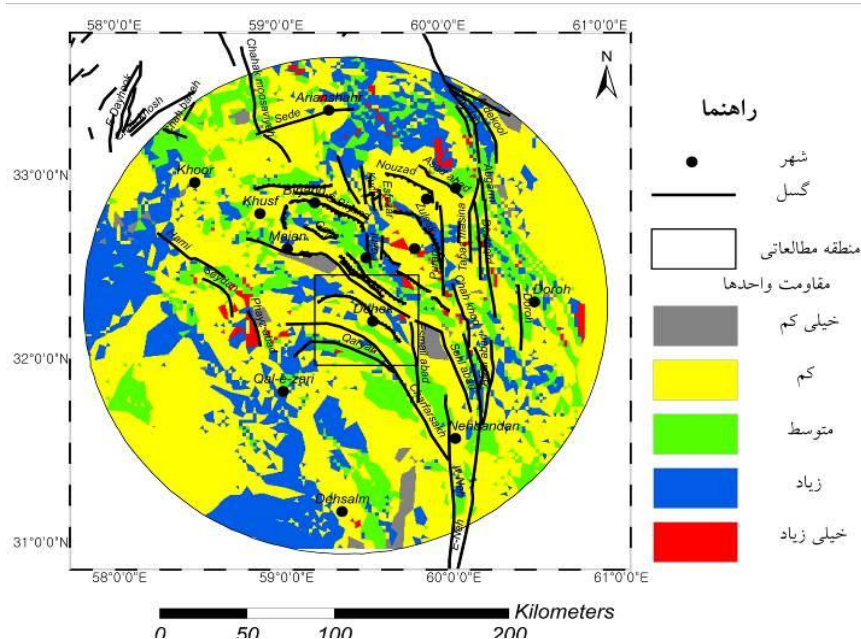
شکل ۵: نقشه فاصله از گسل‌های منطقه مورد مطالعه

تهیه و ترسیم: محترم قهرمانی، ۱۳۹۵

– نقشه مقاومت واحدها

«مقاومت واحدها» یک پارامتر مؤثر دیگر در لرزه‌خیزی است. این تقسیم‌بندی بر مبنای مقاومت واحدها در برابر هوازدگی و میزان صلبیت واحد سنگی است. به طوری که واحدهای کواترنری در رده ضعیف و

سنگ‌هایی همچون بازالت در رده مقاومت زیاد قرار می‌گیرند. در مناطقی که دارای میزان مقاومت کمتری هستند، به دلیل اینکه در اثر حرکت گسل‌های اصلی منطقه در این مناطق زودتر شکسته می‌شوند؛ احتمال بروز زمین‌لرزه بیشتر می‌شود.



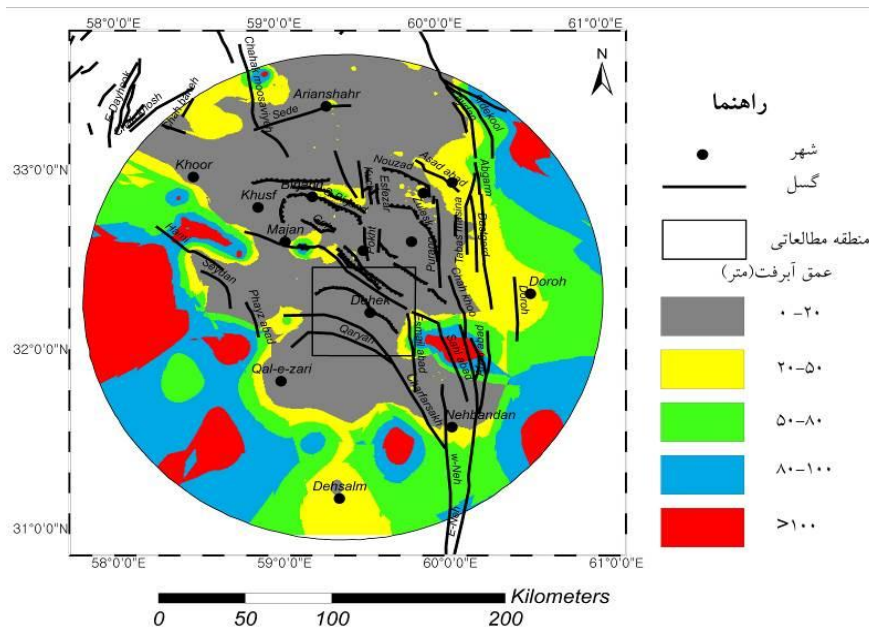
شکل ۶: نقشه مقاومت واحدها در منطقه مورد مطالعه

تهیه و ترسیم: محترم قهرمانی، ۱۳۹۵

عمق آبرفت

عوامل مختلفی در تشدید شتاب حاصل از زمین‌لرزه نقش مثبت یا منفی را دارند. یکی از این عوامل عمق آبرفت در محدوده گسل‌های فعال منطقه است. از آنجاکه آبرفت یک لایه منفصل است، در اثر بروز زمین‌لرزه نمی‌تواند موج‌های حاصل از زمین‌لرزه را به خوبی منتقل کند؛ یعنی به عبارتی سبب تحلیل انرژی حاصل از زمین‌لرزه می‌شود؛ به همین دلیل

هرچه عمق آبرفت در محل گسل بیشتر باشد، میزان خسارات ناشی از امواج زمین‌لرزه کمتر است. در محدوده مورد مطالعه به علت عدم انجام عملیات ژئوفیزیک، عمق آبرفت منطقه مشخص نشده است؛ به همین دلیل برای تعیین عمق آبرفت از عمق چاه‌های عمیق استفاده شد (شکل ۷).



شکل ۷: نقشه عمق آبرفت در منطقه مورد مطالعه

تهیه و ترسیم: محترم قهرمانی، ۱۳۹۵

بحث

– تئوری منطق فازی

مفهوم منطق فازی اولین بار توسط دکتر لطفی زاده استاد دانشگاه کالیفرنیا در مقاله‌ای با عنوان «مجموعه‌های فازی»، در سال ۱۹۶۵ ارائه شد منطق فازی یک منطق چند مقداری است؛ یعنی پارامترها و متغیرهای آن، علاوه بر اختیار اعداد ۰ یا ۱، می‌توانند تمامی مقادیر بین این دو عدد را نیز اختیار کنند. تعلق هر عضو مجموعه مرجع به یک عضو زیرمجموعه خاص، به صورت قطعی نیست، یعنی با قاطعیت نمی‌توان گفت که عضو مورد نظر متعلق به این مجموعه است یا نه. این عدم قطعیت با نسبت‌دادن یک عدد بین ۰ و ۱ به این عضو انجام می‌گیرد. اگر این عدد برابر با صفر باشد، می‌توان با قطعیت گفت که عضو مورد بحث متعلق به آن مجموعه نبوده و همچنین اگر این عدد ۱ باشد می‌توان ادعا کرد که عضو مورد بحث متعلق به آن مجموعه است. به این ترتیب می‌توان زیرمجموعه‌های

یک مجموعه فازی را با نسبت‌دادن عددهای ۰ و ۱ به

هر عضو مجموعه بازنمایی کرد

(Champti-ray, 2007:101).

به‌طور کلی هدف از تئوری فازی، ایجاد روشی نوین در بیان عدم قطعیت‌ها و ابهامات روزمره است. منطق فازی که در برابر منطق کلاسیک مطرح شد، ابزاری توانمند در جهت حل مسائل مربوط به سیستم‌های پیچیده‌ای است که درک آنها مشکل است یا حل مسائلی است که وابسته به استدلال، تصمیم‌گیری و استنباط بشری هستند. انتخاب یک روش و رویکرد مناسب برای مدل‌سازی یک سیستم، کاملاً بستگی به میزان پیچیدگی آن سیستم داشته و پیچیدگی نیز با میزان دانش و شناخت ما از آن سیستم ارتباط معکوس دارد. واضح است که انسان تمایل دارد یک سیستم را با بیشترین دقت مدل‌سازی کند؛ اما چنانچه شناخت کافی نسبت به آن نداشته باشد، مجبور است که دقت مورد انتظار از مدل را با میزان شناخت خود از سیستم منطبق کند.

وارد شد و در خروجی آن وزن هر پارامتر تعیین شد (قدسی‌پور، ۱۳۸۴: ۲۲۰). جدول ۲) از بین عوامل، پارامتر گشتاور لرزه‌ای بیشترین وزن و پارامتر عمق آبرفت کمترین وزن را به خود اختصاص دادند (کوره‌پزان دزفولی، ۱۳۸۴: ۱۷۱).

جدول ۱: مقایسات زوجی استفاده‌شده برای پارامترهای مورد استفاده

| مقدار عددی | ترجیحات |
|------------|-----------------------|
| ۹ | کاملاً مرجح |
| ۷ | ترجیح خیلی قوی |
| ۵ | ترجیح قوی |
| ۳ | کمی مرجح |
| ۱ | ترجیح یکسان |
| ۰,۴,۶ و ۸ | ترجیحات بین فواصل فوق |

مأخذ: مطالعات میدانی ملکی و همکاران، ۱۳۸۸

جدول ۲: وزن پارامترها در expert choice

| وزن‌های استاندارد | معیارها |
|-------------------|------------------------|
| ۰,۴۲۸ | گشتاور لرزه‌ای |
| ۰,۲۵۵ | هم‌شتاب |
| ۰,۱۵ | هم‌شدت شکستگی |
| ۰,۰۸۷ | فاصله از گسل |
| ۰,۰۴۷ | مقاومت واحدها (فرسایش) |
| ۰,۰۳۳ | عمق آبرفت |

مأخذ: مطالعات میدانی نگارندگان، ۱۳۹۵

پهنه‌بندی خطر زمین‌لرزه

در روش فازی، نرمال‌سازی نسبت فراوانی هریک از نقشه‌ها با استفاده از نرم‌افزار Expert choice و درجه عضویت فازی براساس نسبت فراوانی‌های نرمال‌سازی‌شده در محیط نرم‌افزار Idrisi تعیین شد (شکل ۸). سپس نقشه‌های تهیه‌شده براساس عملگرهای فازی در نرم‌افزار ARC-GIS به هم همپوشانی داده شدند و خروجی نهایی به‌عنوان نقشه پهنه‌بندی تهیه شد (شکل ۹ تا ۱۱) و (جدول ۳).

برای پیش‌بینی سری‌های زمانی با استفاده از منطق فازی هم، مدل‌های بسیاری در بازه زمانی ۲۰۰۵-۱۹۸۵ مطرح شده که از آنها برای پهنه‌بندی و پیش‌بینی پدیده‌ها می‌توان استفاده کرد (Gooijer, 2006:443)

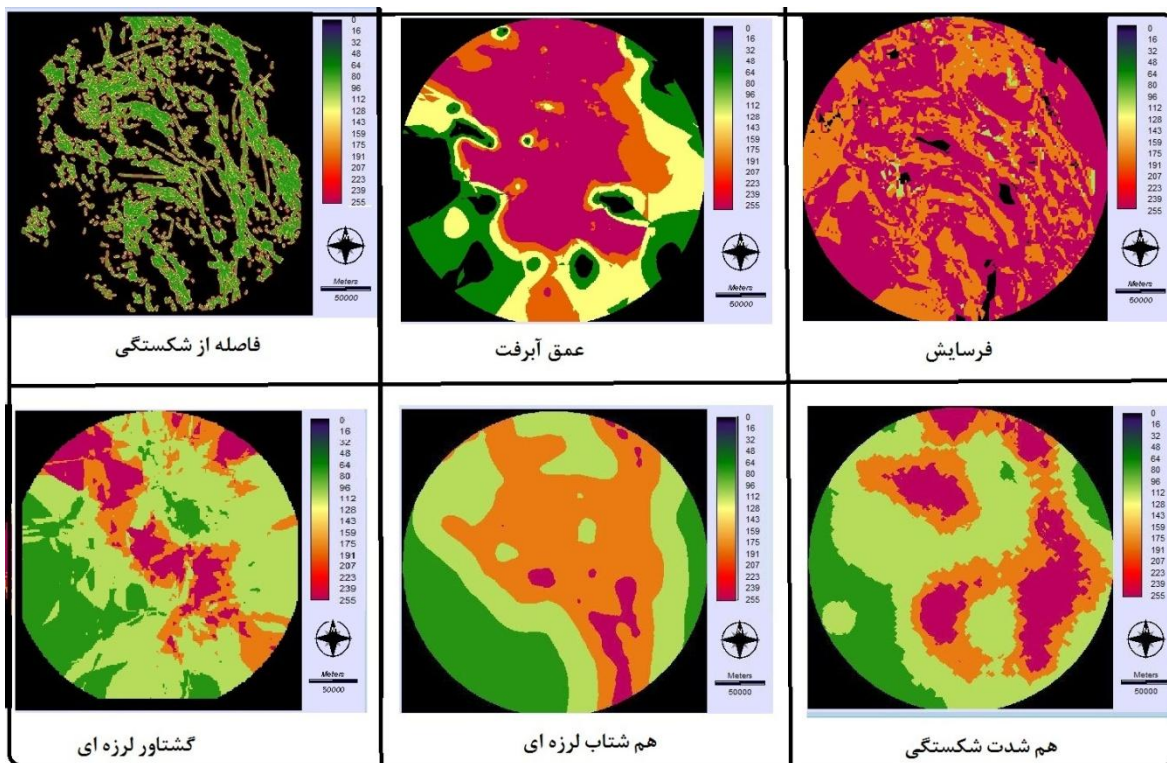
داده‌های موردنیاز

پس از بررسی منابع و یافته‌های علمی مرتبط با موضوع، با استفاده از عکس‌های هوایی با مقیاس ۱:۲۵۰۰۰، نقشه‌های زمین‌شناسی با مقیاس ۱:۲۵۰۰۰۰ (به فاصله ۱۵۰ کیلومتری منطقه) همراه با داده‌های لرزه‌ای تهیه‌شده از سازمان ژئوفیزیک، نقشه‌های موردنیاز در منطقه تهیه شد. براساس سابقه تحقیق، موقعیت منطقه، مقیاس و روش‌های پهنه‌بندی مورد استفاده، مجموعاً ۶ عامل گشتاور لرزه‌ای، هم‌شتاب لرزه‌ای، هم‌شدت شکستگی، فاصله از شکستگی، مقاومت واحدها و عمق آبرفت، مورد استفاده و مطالعه قرار گرفته است.

روش کار

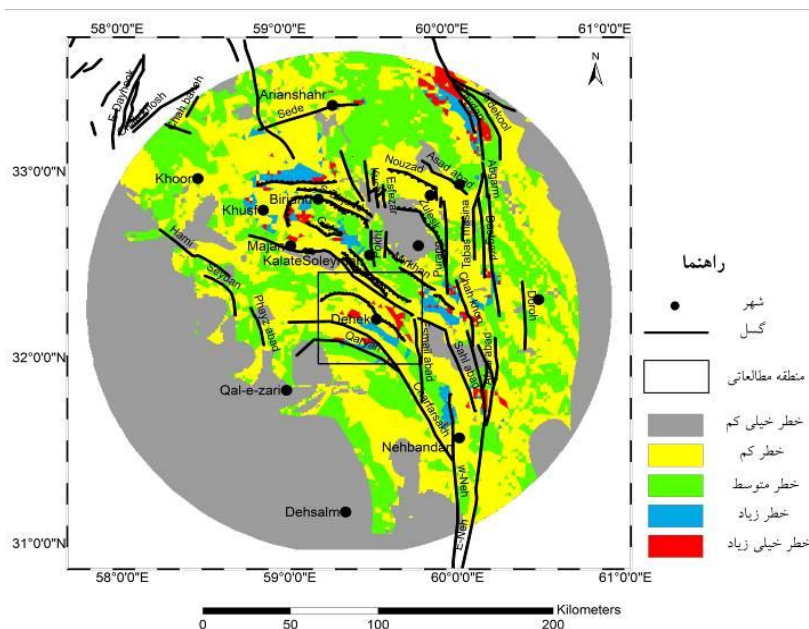
- اولویت‌بندی عوامل مؤثر بر زمین‌لرزه

در منطق‌های کلاسیک، برای وزن‌دهی به هر عامل، قسمت‌هایی که به‌طور تقریبی از نظر ویژگی‌های دیگر مشابه بوده و عامل موردنظر تغییر می‌کند، در نظر گرفته می‌شود و با مشاهده تغییرات این عامل و تأثیر آن بر وقوع زمین‌لرزه، با استفاده از جدول ۱ براساس نظر و دید کارشناس نسبت به منطقه عوامل به‌صورت دوبه‌دو با هم مقایسه می‌شوند و یکی از وزن‌های جدول انتخاب می‌شود که بستگی به دقت عمل، تجربه و میزان آشنایی کارشناس با منطقه دارد (کلارستاقی، ۱۳۸۱: ۱۴۱) وزن‌دهی بر مبنای دانش و قضاوت کارشناسی است. نتایج این مقایسه‌ها به‌صورت یک ماتریس به نرم‌افزار Expert choice



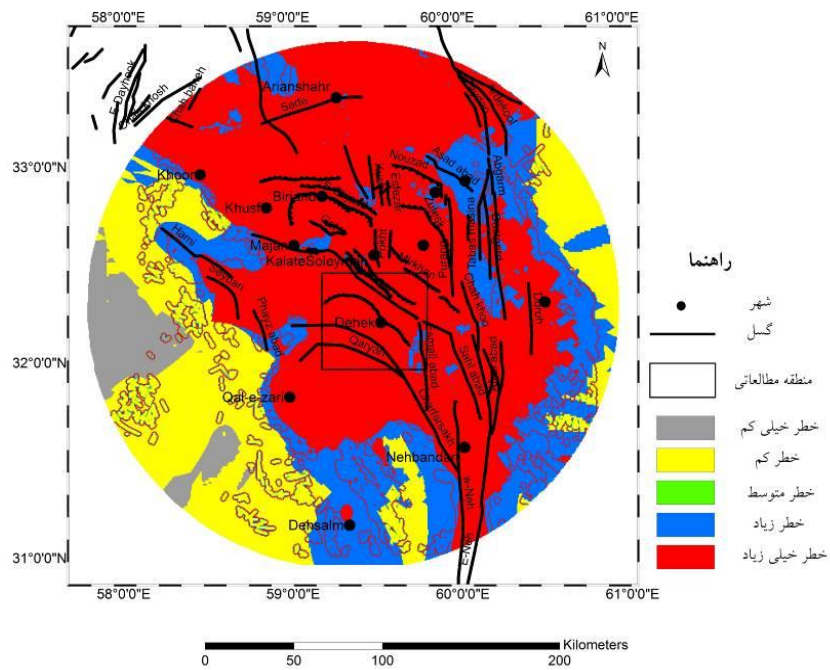
شکل ۸: درجه عضویت فازی پارامترهای مؤثر بر زلزله در منطقه مورد مطالعه

تهیه و ترسیم: محترم قهرمانی، ۱۳۹۵



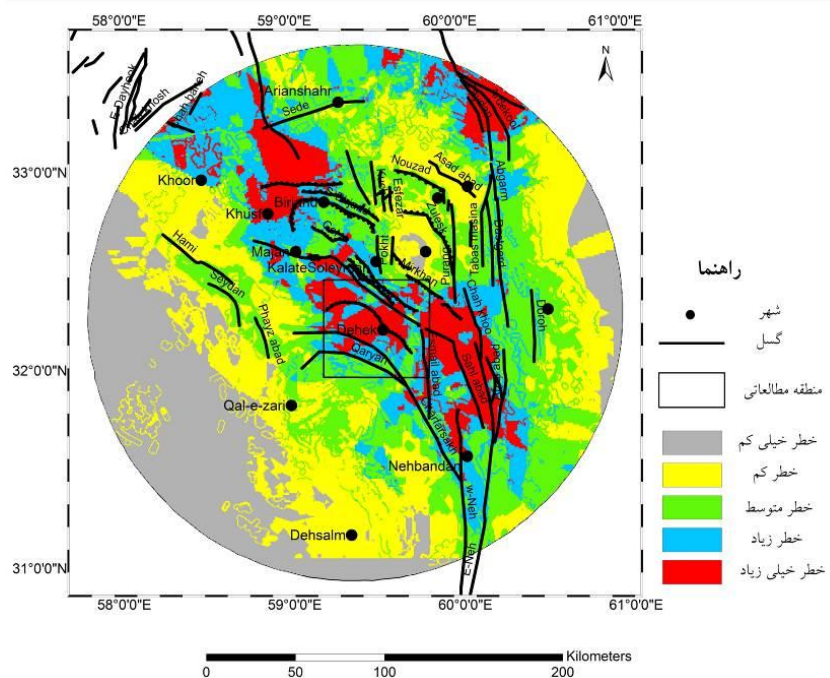
شکل ۹: نقشه پهنه‌بندی نهایی به روش اشتراک فازی

تهیه و ترسیم: محترم قهرمانی، ۱۳۹۵



شکل ۱۰: نقشهٔ پهنه‌بندی نهایی به روش اجتماع فازی

تهیه و ترسیم: محترم قهرمانی، ۱۳۹۵



شکل ۱۱: نقشهٔ پهنه‌بندی نهایی به روش جمع جبری فازی

تهیه و ترسیم: محترم قهرمانی، ۱۳۹۵

جدول ۳: درصد هر کلاس خطر در منطقه مورد مطالعه به فاصله ۱۵۰ کیلومتری

| کلاس خطر | درصد برحسب تابع sum (جمع جبری فازی) | درصد برحسب تابع OR (اجتماع فازی) | درصد برحسب تابع AND (اشتراک فازی) |
|-----------|--|-------------------------------------|--------------------------------------|
| خیلی کم | ۲۰ | ۶ | ۳۶ |
| کم | ۲۸ | ۲۱ | ۳۷ |
| متوسط | ۲۶ | ۱ | ۲۲ |
| زیاد | ۱۶ | ۲۰ | ۳ |
| خیلی زیاد | ۱۰ | ۵۲ | ۲ |

مأخذ: مطالعات میدانی نگارندگان، ۱۳۹۵

نتیجه

در این پهنه‌بندی ابتدا عوامل مؤثر بر ایجاد زمین‌لرزه تهیه و اولویت‌بندی شد. از بین عوامل، پارامتر گشتاور لرزه‌ای بیشترین وزن و پارامتر فرسایش و عمق آبرفت کمترین وزن را به خود اختصاص دادند. پایین بودن وزن فاکتورهای فرسایش و آبرفت به این دلیل است که بیشتر کانون زمین‌لرزه‌های با بزرگی بالا در منطقه در عمق کانونی کمتر از ۱۲ کیلومتر و در اثر عملکرد گسل‌های پی‌سنگی است؛ بنابراین تأثیر این فاکتورها کم است. براساس پارامتر شتاب‌لرزه‌ای، شتابی که گسل دهک به روستاهای آن منطقه وارد می‌کند، معادل ۰/۵۸ شتاب ثقلی زمین است. براساس عملگر جمع جبری فازی، حدود ۷۰ درصد از منطقه دهک در محدوده کلاس خطر زیاد و خیلی زیاد قرار دارد. همچنین براساس نقشه اجتماع، ۱۰۰ درصد و براساس نقشه اشتراک فازی ۱۵ درصد از منطقه دهک در کلاس‌های خطر زیاد و خیلی زیاد قرار دارد. در نهایت در نقشه پهنه‌بندی به روش فازی تا شعاع ۱۵۰ کیلومتری، بیشترین خطر زمین‌لرزه در اطراف گسل نهبندان، سهل آباد، دهک، چهارفرسخ، اردکول و ماژان در محدوده خطر خیلی زیاد قرار دارند.

منابع

- افتخارنژاد، جمشید؛ یووان اشتوکلین (۱۳۶۹). نقشه زمین‌شناسی ۱:۲۵۰۰۰۰ چهارگوش بیرجند، سازمان زمین‌شناسی و اکتشافات معدنی کشور.
- افتخارنژاد، جمشید؛ مهدی علوی‌نایینی؛ عباس بهروزی (۱۹۹۱). نقشه زمین‌شناسی ۱:۲۵۰۰۰۰ چهارگوش قاین، سازمان زمین‌شناسی و اکتشافات معدنی کشور.
- حیدری‌آقاگل، مسعود (۱۳۹۴). بررسی ساختاری زیرکوه با نگرشی بر لرزه‌خیزی منطقه (حاجی‌آباد- شرق ایران)، پایان‌نامه کارشناسی ارشد. دانشگاه بیرجند.
- علوی‌نایینی، مهدی؛ عباس بهروزی (۱۹۸۲). نقشه زمین‌شناسی ۱:۲۵۰۰۰۰ چهارگوش شاهرخت؛ سازمان زمین‌شناسی و اکتشافات معدنی کشور.
- علوی‌نایینی، مهدی؛ عباس بهروزی (۱۹۸۳). نقشه زمین‌شناسی ۱:۲۵۰۰۰۰ چهارگوش گزیک، سازمان زمین‌شناسی و اکتشافات معدنی کشور.
- قدسی‌پور، سیدحسین (۱۳۸۴). مباحثی در تصمیم‌گیری چندمعیاره، فرایند تحلیل سلسله‌مراتبی، انتشارات دانشگاه صنعتی امیرکبیر. چاپ چهارم. صفحه ۲۲۰.
- کلارستاقی، ع (۱۳۸۱). بررسی عوامل مؤثر بر وقوع زمین‌لغزش‌ها و پهنه‌بندی خطر زمین‌لغزش در حوضه آبخیز شیرینرود ساری، پایان‌نامه کارشناسی ارشد آبخیزداری. دانشکده منابع طبیعی دانشگاه تهران. صفحه ۱۴۱.

- Ziewonski, A.M., Ekström, G., Franzen, J.E. and Woodhouse, J.H (1987). Global seismicity of 1977: centroid-moment tensor solutions for 471 earthquakes. *Physics of the earth and planetary interiors*, 45(1), PP:11-36
- Gooijer, J., Hyndman, R (2006). 25 Years of Time Series Forecasting, *International Journal of Forecasting*, No. 2. PP: 443- 473.
- anks, T.C. and Kanamori, H (1979). A moment magnitude scale. *Journal of Geophysical Research B*, 84(B5), PP: 2348-2350.
- Mohajer, G.A., Pierce, G. R (1963). Qazvin, Iran earthquake. *Bull. Am. Assoc. Petrol. Geol.*, 47 (10), PP: 1878- 1883.
- Sahandi, M (1992). Geological quadrangle map of Iran. Dehsalm (Chah Vak) sheet (K9), scale, 1 (250,000).
- Tirrule, R., Bell, L.R., Griffins, R.J., and Camp, V. E (1983). The Sistan Suture zone of eastern Iran. *G.S.A V.* 94, P. 134- 150.
- Walker, R. T., Jackson, J (2004). Active tectonic and late Cenozoic strain distribution in central and eastern Iran. *Tectonics* 23.
- کوره‌پزان‌دزفولی، امین (۱۳۸۴). اصول تئوری مجموعه‌های فازی و کاربردهای آن در مدل‌های مسائل مهندسی آب، دانشگاه امیرکبیر. جلد ۱. صفحات ۱۸۱-۱۷۰.
- محمودزاده، حسین (۱۳۶۸). ارزیابی و پهنه‌بندی درجه تناسب شهر تبریز با استفاده از GIS. سازمان مدیریت و برنامه‌ریزی استان آذربایجان شرقی.
- موحّد اول، محسن؛ کاظم امامی؛ جمشید افتخارنژاد؛ یووان اشتوکلین (۱۹۷۸). نقشه زمین‌شناسی ۱:۱۰۰۰۰۰ مختاران، سازمان زمین‌شناسی و اکتشافات معدنی کشور.
- وکیلی‌اوندی، فاطمه (۱۳۹۳). برهمکنش گسل‌های فعال و کوه‌لغزش در گستره رشته‌کوه باقران (جنوب بیرجند)، پایان‌نامه تحصیلی کارشناسی ارشد. دانشگاه بیرجند.
- Ambraseys, N., Melville, A (1991). *History of Persian Earthquake*. Cambridge University.
- Champati-ray, P.K., Dimri, S., Lakhera, R.C., and Sati, S (2007). Fuzzy- based method for landslide hazard assessment in active seismic zone of Himalaya, *Landslides*, 4: PP: 101-111.

**Earthquake Hazard Zoning by Fuzzy Logic in Dehek Area
(South Khorasan)**

Mohtaram Ghahramani

M.Sc of Geology
University of Birjand

Dr. Seyed Morteza Mousavi

Assistant Professor of Geology
University of Birjand

Dr. MohamadMahdi Khatib

Professor of Geology
University of Birjand

Hashem Mansouri

Ph.D Student of Geology
University of Birjand

Introduction

In Southern Khorasan Province (East of Iran), due to the operation of active faults (North-South, East-West and North-West-South-east faults), we see earthquakes with different magnitudes. To reduce damage, it is important to determine areas with high seismic potential. Although accurate prediction of this great natural hazard is not possible definitively, it is possible to determine the probable location of the occurrence of an earthquake so the zoning necessity is apparent. The reliability of this map largely depends on the quality of available data, the scale of the study, the choice of a method and the proper modeling. Examples of these methods are using the AHP method and fuzzy logic. The study area is located in the Sistan structural province, which studies the active faults in this area along with the earthquakes that occurred, indicating that the area is tectonically active. Dehek fault with the northwest-southeastern direction is one of the branches of the western Neh fault and continue to southeast and reaches at Ismail Abad dextral. Investigation of seismotectonic maps (Porkermani, 1997) suggests that this area has high seismic potential and there have been many earthquakes in this area. Based on studies on earthquake density, length of faults in the region, magnitude of earthquakes and earthquakes acceleration, East of Iran has high seismic potential.

Methods and Methodology

In this study, six parameters were used including: seismic moment, seismic acceleration, iso-intensity of fractures, distance from faults, strength of units and depth of alluvium maps. Zoning studies indicate that seismic moment and seismic iso acceleration play the most important role in the occurrence of earthquakes in the region. Then the resets were examined by fuzzy logic method and finally the results of the study were analyzed in most seismic hazard maps.

Results and Discuss

In the classic logic, for weighting each factor, parts that are approximately similar in terms of other features and change the agent are considered, and by observing changes in this factor and according to expert opinion, the effect of this on the occurrence of earthquake is compared to the region of factors exclusively.

Weighting is based on knowledge and judgment of the undergraduate. The results of these comparisons were introduced as a matrix to the Expert selection software. At the outlet, the weight of each parameter was determined. Among the factors, the seismic Moment parameter of the highest weight and the lowest absolute weight of the alluvial depth parameter were determined.

In the fuzzy method, the normalization of the frequency ratio of each map using the Expert selection software then the degree of fuzzy membership was determined based on the normalized frequency ratios in the Idrisi software environment. Then, the maps prepared on the basis of fuzzy operators were overlapped in ARC GIS software and final output was prepared as zoning map. Output maps obtained on the basis of fuzzy operators show that . Output maps based on fuzzy algebraic (sum) is highly adapted to the fact that 20, 28, 26, 16 and 10 percent of the region is of very low, low, medium, high, and very high risk classes.

Conclusion

In this zoning, firstly, the factors influencing the creation of earthquakes were provisioned and prioritized. Among the factors, the seismic torque parameter had the highest weight, the erosion parameter, and the depth of alluvium. The low weight of the erosion and alluvial factors is due to the fact that most of the high-seismic focus area in the region at a focal depth of less than 12 km is due to the performance of the underlying faults, so the impact of these factors is low. Based on the seismic acceleration parameter, the acceleration that the Dehek fault enters the villages of that area is 0.58 gravitational gravity. According to the Fuzzy algebraic operator function, about 70% of the decay area is in a very high risk area. Also according to the community map, 100% and according to the fuzzy share map, 15% of the district is in high and very high risk classes. Finally, in the fuzzy zoning map to a radius of 150 km, the greatest risk of earthquakes around the Nehbandan, Sahl Abad, Dehek, Chahar Farsakh, Ardakoul and Mazhan faults is at high risk.

Keywords: Seismic moment, Fuzzy Logic, Fuzzy Operators, Dehek Fault, South Khorasan.

References

- Alavi Nayini, M; Behroozi, A (1982). 1: 250,000 Geological map, square Shahrakht, Geological Survey and Mining Exploration of Iran.
- Alavi Nayeni, M; Behroozi, A (1983). 1: 250,000 Geological map, square Gazik, Geological Survey and Mining Exploration of Iran.
- Chung, C.F., and Fabbri, A.G (1993). the Representation of Geosciences Information for Data Integration, Nonrenewable Resources, V. 2(2), PP: 122- 139.
- Champati-ray, P.K., Dimri, S., Lakhera, R.C., and Sati, S (2007). Fuzzy- based method for landslide hazard assessment in active seismic zone of Himalaya, Landslides, 4: PP. 101-111.

- Dziewonski, A.M., Ekström, G., Franzen, J.E. and Woodhouse, J.H (1987). Global seismicity of 1977: centroid-moment tensor solutions for 471 earthquakes. *Physics of the earth and planetary interiors*, 45(1), PP:11-36
- Eftekharnjad, J., Eshtoklin, J. (1990). 1: 250,000 geological map, square Birjand, Geological Survey and Mineral Exploration of Iran.
- Eftekharnzhad, J; Alavi Nayini, M, Behroozi, A (1991). 1: 250,000 Geological map, square Qayen, Geological Survey and Mineral Exploration of Iran.
- Gooijer, J., Hyndman, R (2006). 25 Years of Time Series Forecasting, *International Journal of Forecasting*, No. 2. PP: 443- 473.
- Hanks, T.C. and Kanamori, H (1979). A moment magnitude scale. *Journal of Geophysical Research B*, 84(B5), PP:2348-2350.
- Heydari Aghagol, M. (2015). Zirkouh structural investigation with a view on regional seismicity (Haji Abad-East of Iran), Master's thesis, University of Birjand.
- King Stephanie, A., Kiremdndgian, A (1995). Law lincho, Basoz Nersini, *Earthquake Damage and loos Estimation through Gis*, proceeding of Earthquake Engineering Spain, p. 325- 401.
- Koreh Pazane Dezfuli, A (2005). Fuzzy sets theory and its applications in water engineering issues, Amirkabir University, Vol. 1,PP: 170-181.
- Mohager, G.A., Pierce, G. R (1963). Qazvin, Iran earthquake. *Bull. Am. Assoc. Petrol. Geol.*, 47(10), P. 1878- 1883.
- Movahhed Avval, M; Imami,K, Eftekharnjad, J, Eshtoklin, J (1978). 1: 100,000 geological map, Mokhtaran, Geological Survey of Iran.
- Mahmoodzadeh, H (1990). Assessment and zoning degree of appropriateness of Tabriz using GIS, Management and Planning Organization of East Azerbaijan province.
- Maleki, A (1990). Earthquake hazard zoning and prioritize improvement of housing in Kordestan province, *geographical research*, No. 59, PP: 68. 79.
- Momeni, M., Sharifi, S, A (2012) Multiple Attribute Decision Making models and software, Moalleftin publishing. PP: 2-5.
- Mojarad, M., Hossein, M., Zare, M., Morshedy, A.H., Pishahang, M. H (2014). Modeling of the seimotectonic provinces of Iran using the self- organizing map algorithm. *Computers & Geosciences*, V. 67. PP: 162-150.
- Nogol Sadat, M. A (1996). Tectonic map of Iran, Geological Survey and Mineral Exploration of Iran.
- Pour Kermani, M. And Areian, M (1998). Seismicity of Iran, Shahid Beheshti University.
- Qodsi Pour, S.H. (2006) discussions on Multiple Criteria Decision Making, Analytical Hierarchy Process, Amir Kabir University Press, Fourth Edition, P: 220.
- Sahandi, M (1992). Geological quadrangle map of Iran. Dehsalm (Chah Vak) sheet (K9), scale, 1(250,000).
- Schwartz, D., Coopersmith, K. J (1984). fault Behavior and Characteristic Earthquakes: Examples from the Wasatch and San Andreas Fault, *J. Geophys. Res.* 89, PP: 5681- 5698.

- Shariat Ja'fari, M; Hamedpour,R, (2007). Risk prediction of natural slope instability using Fuzzy algebra multiplication and summation operators in Central Alborz, Iranian Journal of Natural Resources, No. 3, PP: 745-757.
- Tirrule, R., Bell, L.R., Griffins, R.J., and Camp, V.E (1983). The Sistan Suture zone of eastern Iran. G.S.A V. 94, PP: 134- 150.
- Turcotte, D. L (1992). Fractals and Chaos in Geology and Geophysics (Cambridge University Press, Cambridge).
- Tanaka, K (2005). Introduction to fuzzy logic for its practical applications, Ferdowsi University of Mashhad publications.
- Vakili Avandari, F (2014). Interaction between active faults and landslides in Bagheran Mountains ranges (south of Birjand), Master's thesis, University of Birjand.
- Walker, R.T., Jackson, J (2004). Active tectonic and late Cenozoic strain distribution in central and eastern Iran. Tectonics 23.